

# Algorithmen für Routenplanung

5. Vorlesung, Sommersemester 2015

Ben Strasser | 6. Mai 2014

INSTITUT FÜR THEORETISCHE INFORMATIK · ALGORITHMIK · PROF. DR. DOROTHEA WAGNER



## Ideensammlung:

- identifiziere wichtige Knoten
- überspringe unwichtige Teile des Graphen

## Gegeben

- Eingabegraph  $G = (V, E, \text{len})$
- Menge an Core Knoten  $V_C \subseteq V$

## Berechne

- Berechne  $G_C = (V_C, E_C, \text{len}_C)$ , so dass Distanzen in  $G_C$  wie in  $G$
- Suche zum Core von  $s$  und  $t$  aus und dann nur noch im Core

## Gegeben

- Eingabegraph  $G = (V, E, \text{len})$
- Folge  $V := V_0 \supseteq V_1 \supseteq \dots \supseteq V_L$  von Teilmengen von  $V$ .

## Berechne

- Folge  $G_0 = (V_0, E_0, \text{len}_0), \dots, G_L = (V_L, E_L, \text{len}_L)$  von Graphen, so dass Distanzen in  $G_i$  wie in  $G_0$
- Suche von  $s$  und  $t$  erst zum Level 1 Core, dann zum Level 2 Core ... bis man beim Level  $L$  Core ist

## Wichtige Knoten

- Brücken
- Autobahnen
- Kreuzungen mit vielen Straßen

## Unwichtige Knoten

- Sackgaßen
- Feldwege
- Nebenstraßen

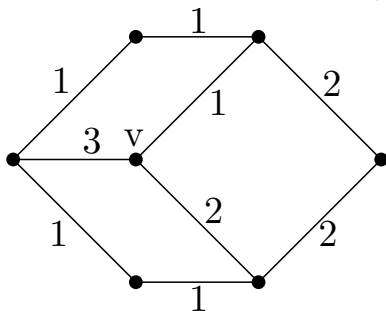
## Idee:

- Pro Knoten ein Level
- Von  $G_i$  kommt man zu  $G_{i+1}$  durch kontrahieren von einem Knoten  $v$

## Idee:

- Pro Knoten ein Level
- Von  $G_i$  kommt man zu  $G_{i+1}$  durch kontrahieren von einem Knoten  $v$

## Gewichtete Knotenkontraktion von $v$ :

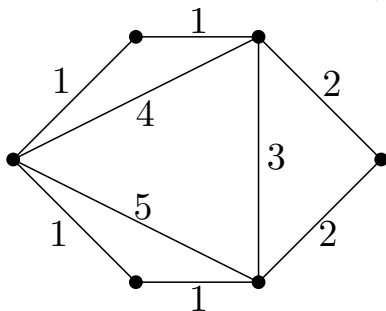


## Idee:

- Pro Knoten ein Level
- Von  $G_i$  kommt man zu  $G_{i+1}$  durch kontrahieren von einem Knoten  $v$

## Gewichtete Knotenkontraktion von $v$ :

- entferne  $v$

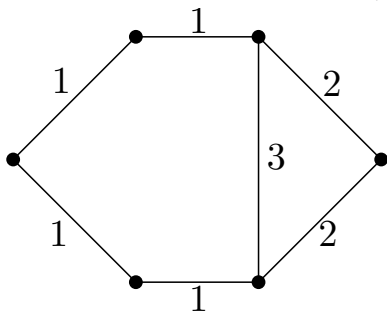


## Idee:

- Pro Knoten ein Level
- Von  $G_i$  kommt man zu  $G_{i+1}$  durch kontrahieren von einem Knoten  $v$

## Gewichtete Knotenkontraktion von $v$ :

- entferne  $v$
- für jedes Paar  $u, w$  füge Kanten  $(u, w)$  zum Graphen wenn  $v$  auf dem einzigen kürzesten Weg von  $u$  nach  $w$  liegt
- Neue Kanten heißen **Shortcuts**

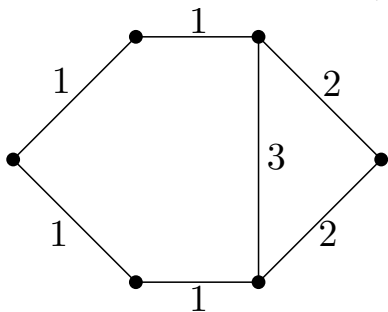


## Idee:

- Pro Knoten ein Level
- Von  $G_i$  kommt man zu  $G_{i+1}$  durch kontrahieren von einem Knoten  $v$

## Gewichtete Knotenkontraktion von $v$ :

- entferne  $v$
- für jedes Paar  $u, w$  füge Kanten  $(u, w)$  zum Graphen wenn  $v$  auf dem einzigen kürzesten Weg von  $u$  nach  $w$  liegt
- Neue Kanten heißen **Shortcuts**
- kann durch lokale Dijkstra Suchen von den Nachbarn berechnet werden, genannt **Zeugensuche**

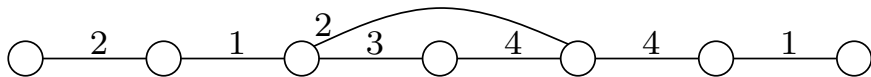


## Zeugensuche

- Zeugensuche kann aufwendig sein
- Lösung: Breche die Zeugensuche nach frühzeitig ab  
z.B. nach  $k$  gesetzten Knoten
- Führt zu zu vielen Kanten
- Bleibt aber korrekt

# Contraction Hierarchies

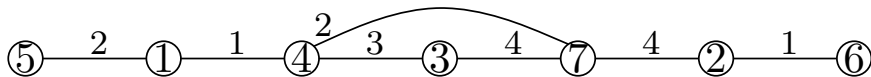
Vorbereitung:



# Contraction Hierarchies

## Vorbereitung:

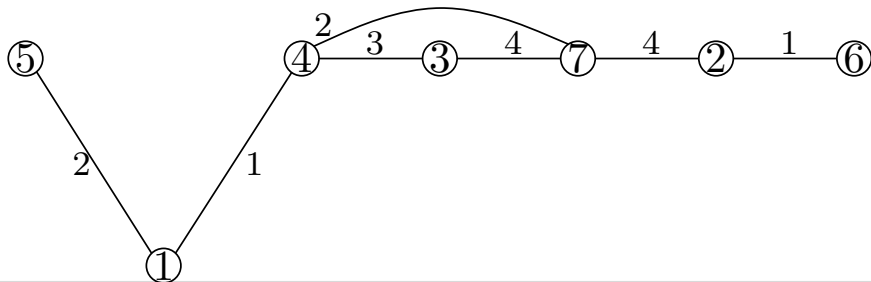
- ordne Knoten



# Contraction Hierarchies

## Vorbereitung:

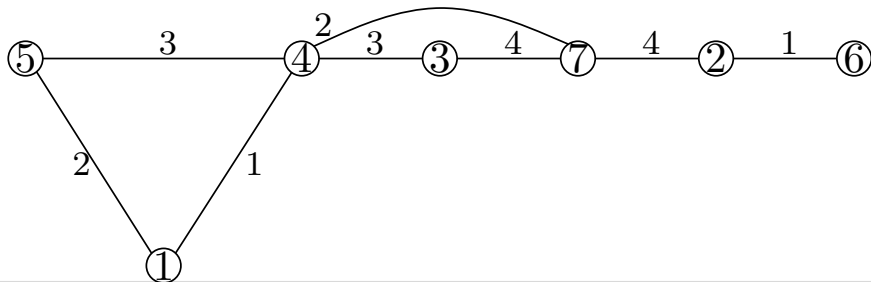
- ordne Knoten
- bearbeite in der Reihenfolge
- kontrahieren des Knoten, hinzufügen von Shortcuts ( $A^+$ )



# Contraction Hierarchies

## Vorbereitung:

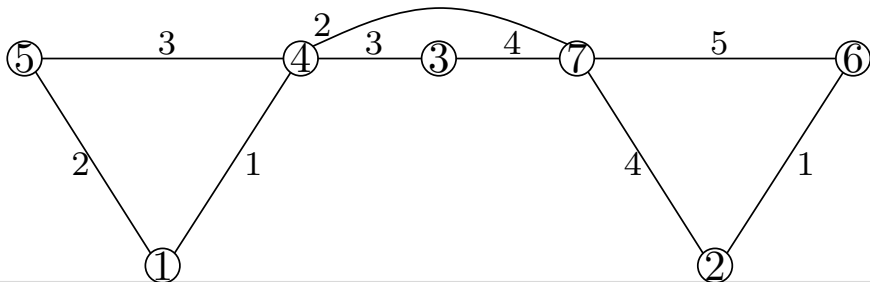
- ordne Knoten
- bearbeite in der Reihenfolge
- kontrahieren des Knoten, hinzufügen von Shortcuts ( $A^+$ )



# Contraction Hierarchies

## Vorbereitung:

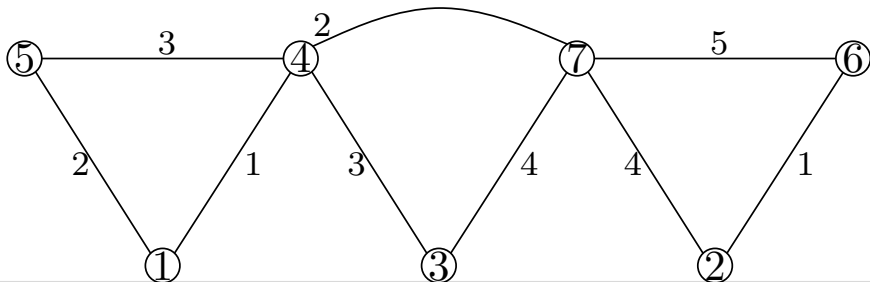
- ordne Knoten
- bearbeite in der Reihenfolge
- kontrahieren des Knoten, hinzufügen von Shortcuts ( $A^+$ )



# Contraction Hierarchies

## Vorbereitung:

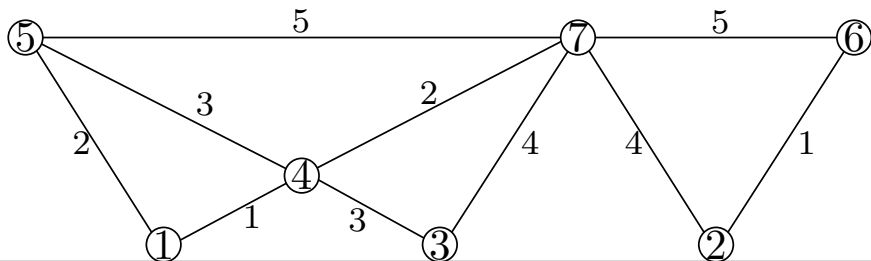
- ordne Knoten
- bearbeite in der Reihenfolge
- kontrahieren des Knoten, hinzufügen von Shortcuts ( $A^+$ )



# Contraction Hierarchies

## Vorbereitung:

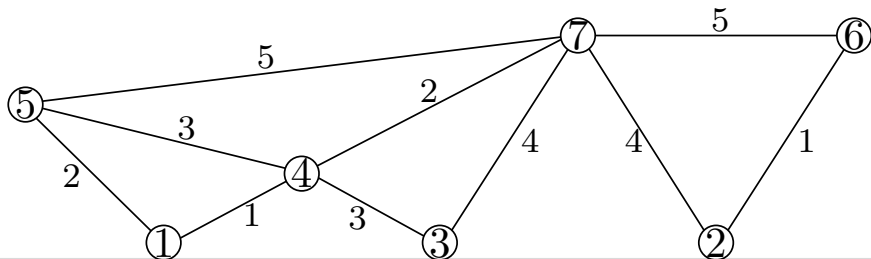
- ordne Knoten
- bearbeite in der Reihenfolge
- kontrahieren des Knoten, hinzufügen von Shortcuts ( $A^+$ )



# Contraction Hierarchies

## Vorbereitung:

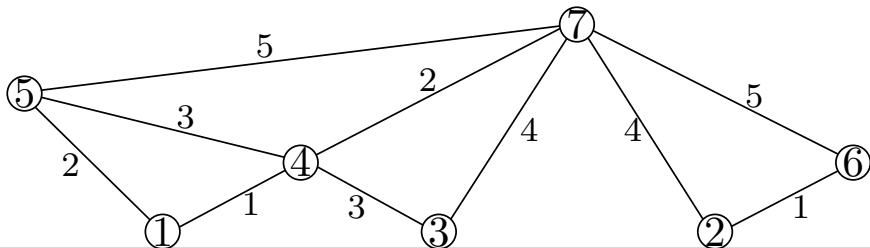
- ordne Knoten
- bearbeite in der Reihenfolge
- kontrahieren des Knoten, hinzufügen von Shortcuts ( $A^+$ )



# Contraction Hierarchies

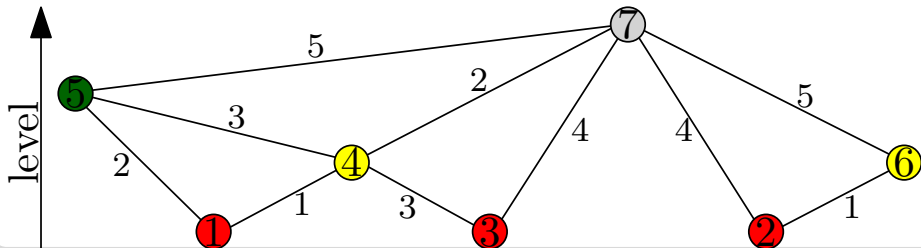
## Vorbereitung:

- ordne Knoten
- bearbeite in der Reihenfolge
- kontrahieren des Knoten, hinzufügen von Shortcuts ( $A^+$ )



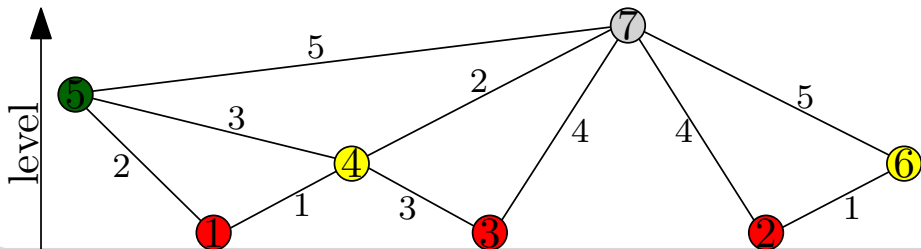
## Vorbereitung:

- ordne Knoten
- bearbeite in der Reihenfolge
- kontrahieren des Knoten, hinzufügen von Shortcuts ( $A^+$ )
- bestimme Level des Knoten



## Vorbereitung:

- ordne Knoten
- bearbeite in der Reihenfolge
- kontrahieren des Knoten, hinzufügen von Shortcuts ( $A^+$ )
- bestimme Level des Knoten
- erzeugt einen Graph  $G^+ = (V, A \cup A^+)$



## Anfrage

- modifizierter **bidirektionaler** Dijkstra

- folge nur Kanten zu **wichtigeren** Knoten

Aufwärtsgraph

$$G_{\uparrow} := (V, E_{\uparrow}) \text{ with } E_{\uparrow} := \{(u, v) \in E : u < v\}$$

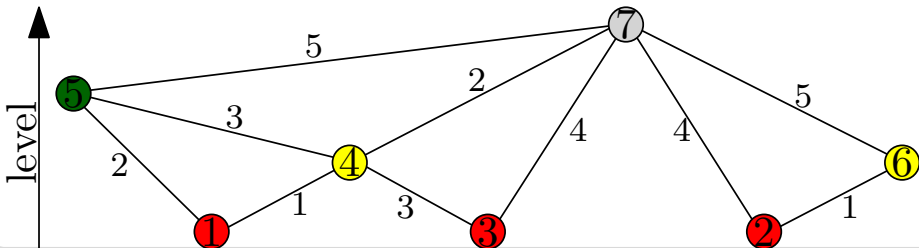
Abwärtsgraph

$$G_{\downarrow} := (V, E_{\downarrow}) \text{ with } E_{\downarrow} := \{(u, v) \in E : u > v\}$$

- Vorwärtssuche in  $G_{\uparrow}$  und Rückwärtssuche in  $G_{\downarrow}$

- konservatives Stoppkriterium:

- jede Suche stoppt wenn Queue leer oder  $\text{minKey}(Q) > \mu$



## Anfrage

- modifizierter **bidirektionaler** Dijkstra

- folge nur Kanten zu **wichtigeren** Knoten

Aufwärtsgraph

$$G_{\uparrow} := (V, E_{\uparrow}) \text{ with } E_{\uparrow} := \{(u, v) \in E : u < v\}$$

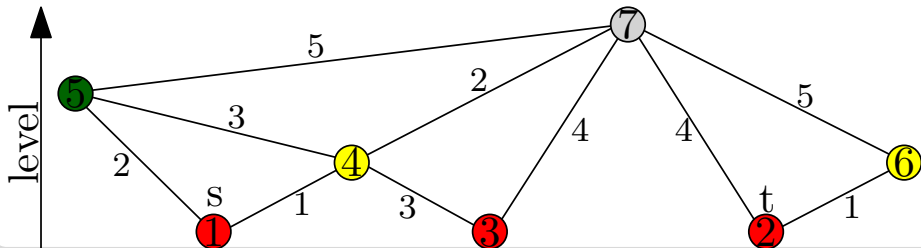
Abwärtsgraph

$$G_{\downarrow} := (V, E_{\downarrow}) \text{ with } E_{\downarrow} := \{(u, v) \in E : u > v\}$$

- Vorwärtssuche in  $G_{\uparrow}$  und Rückwärtssuche in  $G_{\downarrow}$

- konservatives Stoppkriterium:

- jede Suche stoppt wenn Queue leer oder  $\minKey(Q) > \mu$



## Anfrage

- modifizierter **bidirektionaler** Dijkstra

- folge nur Kanten zu **wichtigeren** Knoten

Aufwärtsgraph

$$G_{\uparrow} := (V, E_{\uparrow}) \text{ with } E_{\uparrow} := \{(u, v) \in E : u < v\}$$

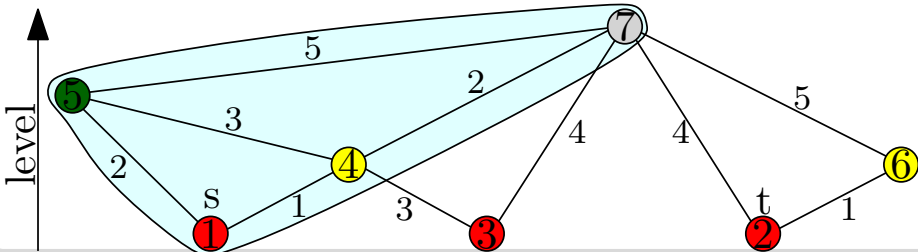
Abwärtsgraph

$$G_{\downarrow} := (V, E_{\downarrow}) \text{ with } E_{\downarrow} := \{(u, v) \in E : u > v\}$$

- Vorwärtssuche in  $G_{\uparrow}$  und Rückwärtssuche in  $G_{\downarrow}$

- konservatives Stoppkriterium:

- jede Suche stoppt wenn Queue leer oder  $\minKey(Q) > \mu$



## Anfrage

- modifizierter **bidirektionaler** Dijkstra

- folge nur Kanten zu **wichtigeren** Knoten

Aufwärtsgraph

$$G_{\uparrow} := (V, E_{\uparrow}) \text{ with } E_{\uparrow} := \{(u, v) \in E : u < v\}$$

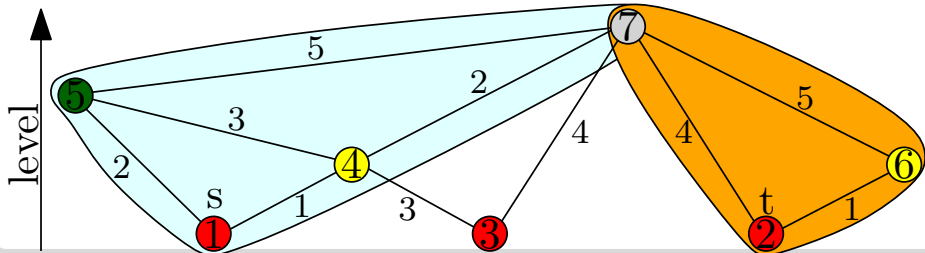
Abwärtsgraph

$$G_{\downarrow} := (V, E_{\downarrow}) \text{ with } E_{\downarrow} := \{(u, v) \in E : u > v\}$$

- Vorwärtssuche in  $G_{\uparrow}$  und Rückwärtssuche in  $G_{\downarrow}$

- konservatives Stoppkriterium:

- jede Suche stoppt wenn Queue leer oder  $\minKey(Q) > \mu$



## Anfrage

- modifizierter **bidirektionaler** Dijkstra

- folge nur Kanten zu **wichtigeren** Knoten

Aufwärtsgraph

$$G_{\uparrow} := (V, E_{\uparrow}) \text{ with } E_{\uparrow} := \{(u, v) \in E : u < v\}$$

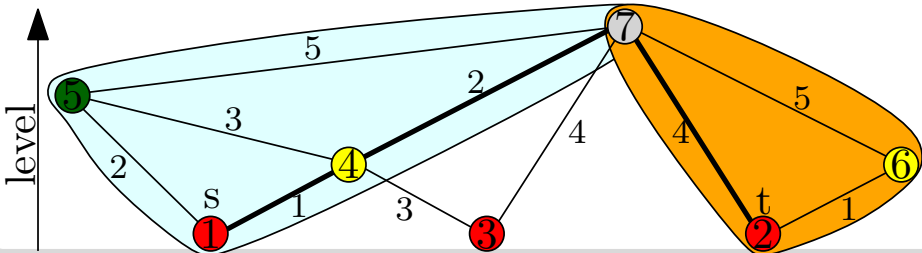
Abwärtsgraph

$$G_{\downarrow} := (V, E_{\downarrow}) \text{ with } E_{\downarrow} := \{(u, v) \in E : u > v\}$$

- Vorwärtssuche in  $G_{\uparrow}$  und Rückwärtssuche in  $G_{\downarrow}$

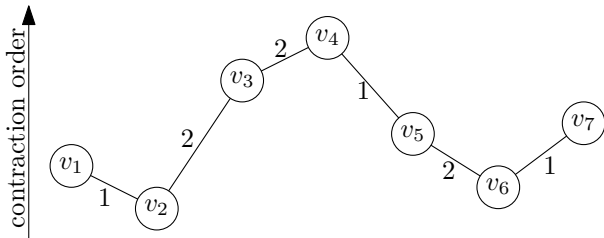
- konservatives Stoppkriterium:

- jede Suche stoppt wenn Queue leer oder  $\minKey(Q) > \mu$



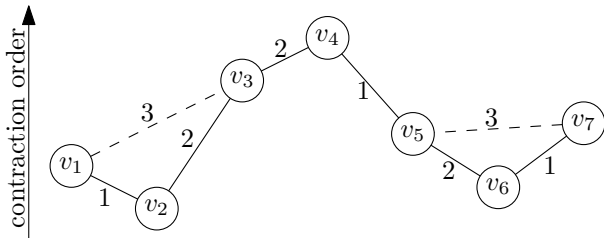
- Die Vorwärtssuche findet nur Aufwärtspfade.
- Die Rückwärtssuche findet nur Abwärtspfade.
- Gemeinsam werden nur Pfade gefunden die hoch und dann wieder runter gehen.
- Wir müssen also beweisen, dass es in  $G^+$  immer einen kürzesten hoch-runter Pfad gibt.

- Die Vorwärtssuche findet nur Aufwärtspfade.
- Die Rückwärtssuche findet nur Abwärtspfade.
- Gemeinsam werden nur Pfade gefunden die hoch und dann wieder runter gehen.
- Wir müssen also beweisen, dass es in  $G^+$  immer einen kürzesten hoch-runter Pfad gibt.



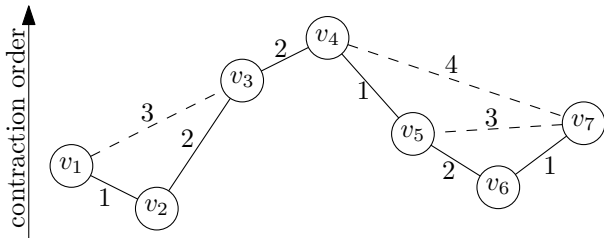
- Es gibt einen kürzesten Weg  $P$
- Wenn  $P$  kein hoch-runter Pfad ist, dann gibt es einen Knoten der höhere Nachbarn hat
- Dann gibt es auch einen hoch-runter Pfad

- Die Vorwärtssuche findet nur Aufwärtspfade.
- Die Rückwärtssuche findet nur Abwärtspfade.
- Gemeinsam werden nur Pfade gefunden die hoch und dann wieder runter gehen.
- Wir müssen also beweisen, dass es in  $G^+$  immer einen kürzesten hoch-runter Pfad gibt.



- Es gibt einen kürzesten Weg  $P$
- Wenn  $P$  kein hoch-runter Pfad ist, dann gibt es einen Knoten der höhere Nachbarn hat
- Dann gibt es auch einen hoch-runter Pfad

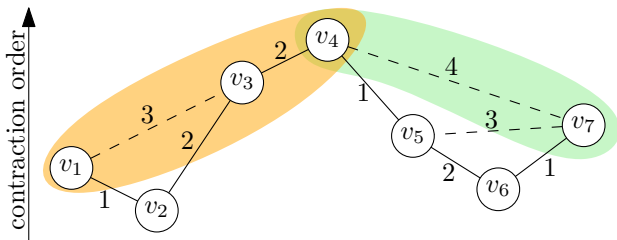
- Die Vorwärtssuche findet nur Aufwärtspfade.
- Die Rückwärtssuche findet nur Abwärtspfade.
- Gemeinsam werden nur Pfade gefunden die hoch und dann wieder runter gehen.
- Wir müssen also beweisen, dass es in  $G^+$  immer einen kürzesten hoch-runter Pfad gibt.



- Es gibt einen kürzesten Weg  $P$
- Wenn  $P$  kein hoch-runter Pfad ist, dann gibt es einen Knoten der höhere Nachbarn hat
- Dann gibt es auch einen hoch-runter Pfad

# Korrektheit

- Die Vorwärtssuche findet nur Aufwärtspfade.
- Die Rückwärtssuche findet nur Abwärtspfade.
- Gemeinsam werden nur Pfade gefunden die hoch und dann wieder runter gehen.
- Wir müssen also beweisen, dass es in  $G^+$  immer einen kürzesten hoch-runter Pfad gibt.

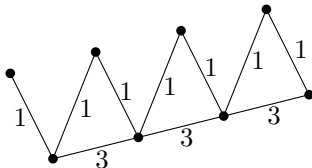


- Es gibt einen kürzesten Weg  $P$
- Wenn  $P$  kein hoch-runter Pfad ist, dann gibt es einen Knoten der höhere Nachbarn hat
- Dann gibt es auch einen hoch-runter Pfad

# Stall-On-Demand

## Beobachtung:

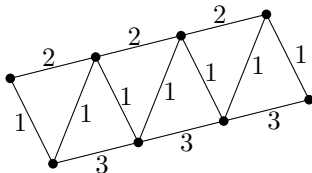
- Suchen können Knoten mit zu großer Distanz besuchen



# Stall-On-Demand

## Beobachtung:

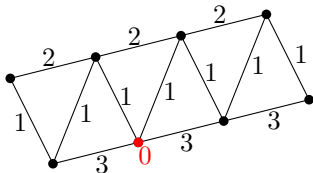
- Suchen können Knoten mit zu großer Distanz besuchen



# Stall-On-Demand

## Beobachtung:

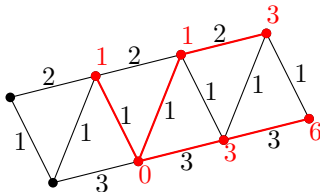
- Suchen können Knoten mit zu großer Distanz besuchen



# Stall-On-Demand

## Beobachtung:

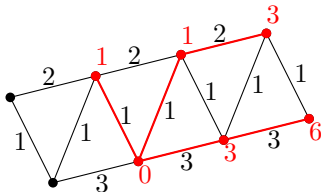
- Suchen können Knoten mit zu großer Distanz besuchen



# Stall-On-Demand

## Beobachtung:

- Suchen können Knoten mit zu großer Distanz besuchen

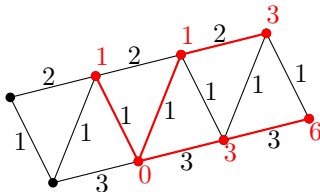


- Kann man zum prunen verwenden

# Stall-On-Demand

## Beobachtung:

- Suchen können Knoten mit zu großer Distanz besuchen

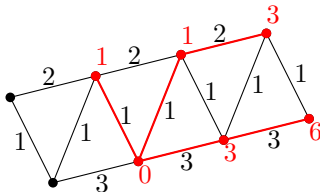


- Kann man zum prunen verwenden
- Jeder Teilpfad eines kürzesten hoch-runter-Pfads muss ein kürzester Pfad sein
- Ehe man einen Knoten settled sucht man nach kürzeren hoch-runter-Pfaden, gibt es diese kann man prunen

# Stall-On-Demand

## Beobachtung:

- Suchen können Knoten mit zu großer Distanz besuchen

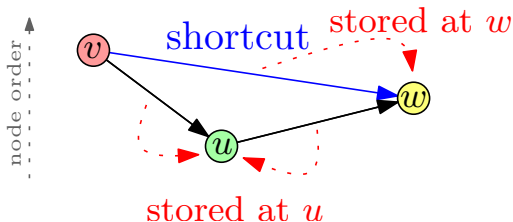


- Kann man zum prunen verwenden
- Jeder Teilpfad eines kürzesten hoch-runter-Pfads muss ein kürzester Pfad sein
- Ehe man einen Knoten settled sucht man nach kürzeren hoch-runter-Pfaden, gibt es diese kann man prunen
- Knoten  $v$  wird geprunt, wenn es Aufwärtznachbar  $u$  von  $v$  gibt, so dass  $d(u) + w(u, v) < d(v)$

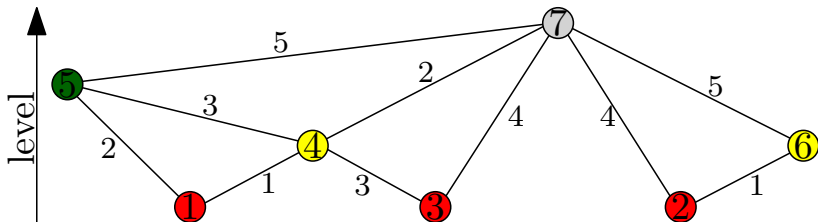


## Suchgraph:

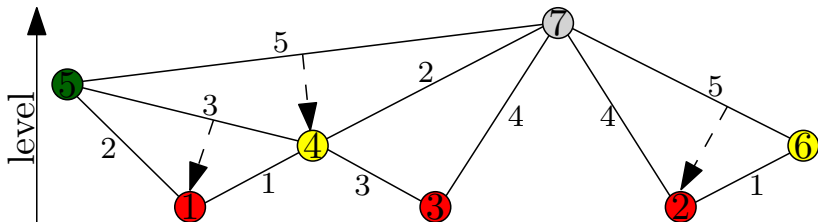
- normalerweise: speichere Kanten  $(v, w)$  in den Adjacenz-Arrays von  $v$  und  $w$  um bidirektionale Suche zu erlauben
- für die CH-Suche reicht es aus, die Kante nur an den Knoten  $\min\{r(v), r(w)\}$  zu speichern



- für jeden Shortcut  $(u, w)$  eines Pfades  $(u, v, w)$ , speichere Mittelknoten  $v$  an der Kante
- expandiere Pfade mittels Rekursion



- für jeden Shortcut  $(u, w)$  eines Pfades  $(u, v, w)$ , speichere Mittelknoten  $v$  an der Kante
- expandiere Pfade mittels Rekursion



**Wie Knoten ordnen?**

## Wie Knoten ordnen?

- bottom-up, suche nach unwichtigen Knoten [GSSV12]
- top-down, suche nach wichtigen Knoten [ADGW12]

# Bottom-Up

Vorgehen:

# Bottom-Up

## Vorgehen:

- identifiziere aktuell unwichtigsten Knoten

# Bottom-Up

## Vorgehen:

- identifiziere aktuell unwichtigsten Knoten
- kontrahiere den Knoten

# Bottom-Up

## Vorgehen:

- identifiziere aktuell unwichtigsten Knoten
- kontrahiere den Knoten
- wiederhole

## Vorgehen:

- identifiziere aktuell unwichtigsten Knoten
- kontrahiere den Knoten
- wiederhole

## Kriterien zum Bestimmen dieses Knotens:

- Differenz Hinzugefügter und Gelöschter Kanten
- Differenz der Originalkanten, die diese Kanten repräsentieren
- Level des Knoten

## Vorgehen:

- identifiziere aktuell unwichtigsten Knoten
- kontrahiere den Knoten
- wiederhole

## Kriterien zum Bestimmen dieses Knotens:

- Differenz Hinzugefügter und Gelöschter Kanten
- Differenz der Originalkanten, die diese Kanten repräsentieren
- Level des Knoten

## Diskussion

- schnell, da alles bis auf die Zeugensuche lokale Informationen sind
- kann on-the-fly berechnet werden
- aber nur, solange der Knotengrad gering bleibt
- Qualität der Ordnung ist schlechter (größere Suchräume)

## Path-Greedy

- Idee: Baue Ordnung von wichtig nach unwichtig
- initial ist die Ordnung leer
- Pfad ist überdeckt wenn er einen Knoten in der Ordnung enthält
- sei  $U$  die Menge der nicht überdeckten kürzesten Pfade
- initial ist  $U$  die Menge aller kürzesten Pfade
  
- Algo:
  - Solange die Ordnung nicht voll:
  - Packe Knoten  $v$  oben in die Ordnung, so dass  $v$  möglichst viele Pfade aus  $U$  überdeckt
  - Entferne diese Pfade aus  $U$

## Path-Greedy: Diskussion

- $n$  mal All-Pair-Shortest-Path  
→  $n^3 \log n$  mit Dijkstra auf dünnen Graphen
- linear Speicherverbrauch
- Kann auf  $n^2 \log n$  gedrückt werden mit  $O(n^2)$  Speicher  
(Details nicht in der Vorlesung)
- gute Qualität der Ordnung aber langsam

# Sampling Path-Greedy [DGPW14]

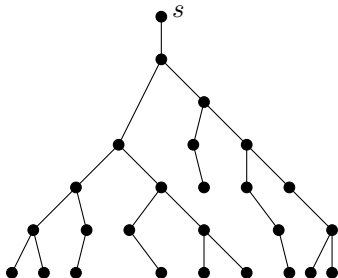
## Idee

- Verwalte nur wenige zufällige kürzeste Wege Bäume
- Wähle  $v$  das auf den meisten Pfaden in diesen Bäumen liegt

# Sampling Path-Greedy [DGPW14]

## Idee

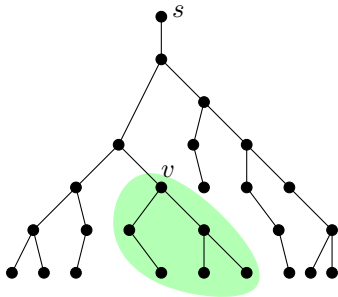
- Verwalte nur wenige zufällige kürzeste Wege Bäume
- Wähle  $v$  das auf den meisten Pfaden in diesen Bäumen liegt



- Der kürzeste Wege Baum von  $s$

## Idee

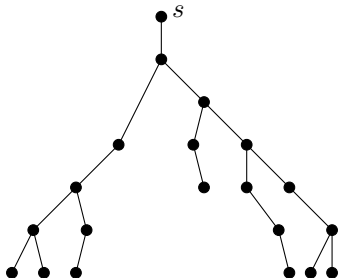
- Verwalte nur wenige zufällige kürzeste Wege Bäume
- Wähle  $v$  das auf den meisten Pfaden in diesen Bäumen liegt



- Der kürzeste Wege Baum von  $s$
- $v$  liegt auf so vielen Pfaden die bei  $s$  beginnen wie sein Teilbaum groß ist (hier 6)

## Idee

- Verwalte nur wenige zufällige kürzeste Wege Bäume
- Wähle  $v$  das auf den meisten Pfaden in diesen Bäumen liegt



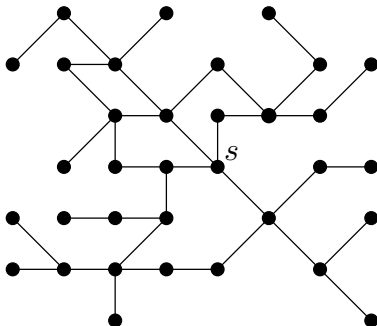
- Der kürzeste Wege Baum von  $s$
- $v$  liegt auf so vielen Pfaden die bei  $s$  beginnen wie sein Teilbaum groß ist (hier 6)
- Entferne Teilbaum

# Sampling Path-Greedy [DGPW14]

- Durch entfernen von Teilbäumen schrumpfen die Bäume
- → Baue neue Bäume auf

# Sampling Path-Greedy [DGPW14]

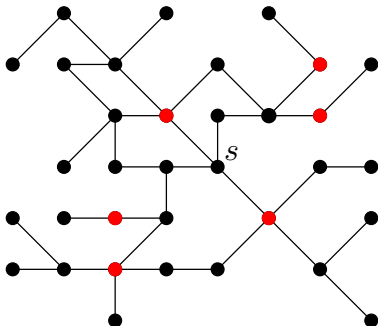
- Durch entfernen von Teilbäumen schrumpfen die Bäume
- → Baue neue Bäume auf



s ist neue Baumwurzel

# Sampling Path-Greedy [DGPW14]

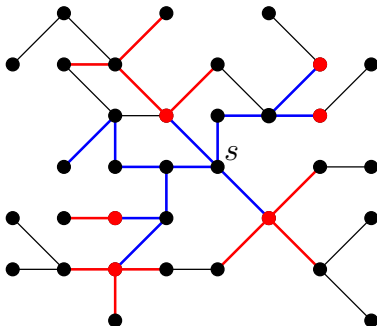
- Durch entfernen von Teilbäumen schrumpfen die Bäume
- → Baue neue Bäume auf



rote Knoten sind bereits in der Ordnung

# Sampling Path-Greedy [DGPW14]

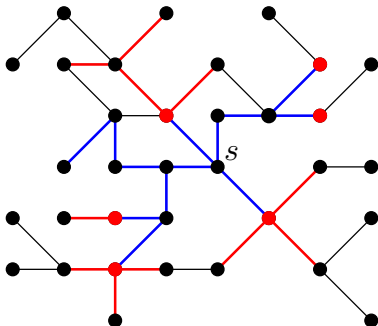
- Durch entfernen von Teilbäumen schrumpfen die Bäume
- → Baue neue Bäume auf



lasse Dijkstra laufen

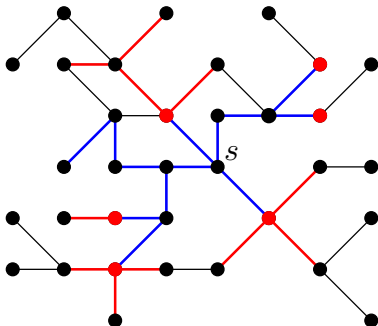
# Sampling Path-Greedy [DGPW14]

- Durch entfernen von Teilbäumen schrumpfen die Bäume
- → Baue neue Bäume auf



speichere welche Knoten über rote Knoten erreicht wurden

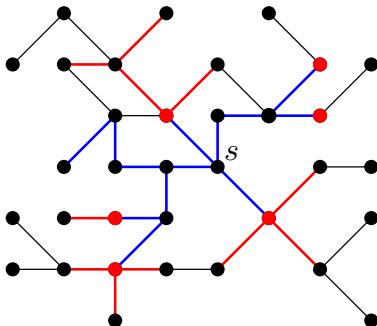
- Durch entfernen von Teilbäumen schrumpfen die Bäume
- → Baue neue Bäume auf



breche ab, wenn die Queue nur noch Knoten enthält die über rote Knoten erreicht wurden

# Sampling Path-Greedy [DGPW14]

- Durch entfernen von Teilbäumen schrumpfen die Bäume
- → Baue neue Bäume auf



der blaue Teilgraph ist der neue Baum

Algo (vereinfacht):

- 1 Baue Bäume auf mit zufälliger Wurzel, bis  $k \cdot n$  Knoten in allen Bäumen sind
  - 2 Wähle  $v$  aus
  - 3 Lösche Teilbäume unter  $v$
  - 4 Gehe zu 1
- 
- $k$  ist ein Parameter der die Qualität steuert
  - um  $v$  schnell auszuwählen muss man an jedem Knoten speichern in welchen Bäumen er enthalten ist

Vorteile von Sampling Path-Greedy:

- funktioniert auf den meisten Graphen
- brauchbare Qualität und Laufzeit

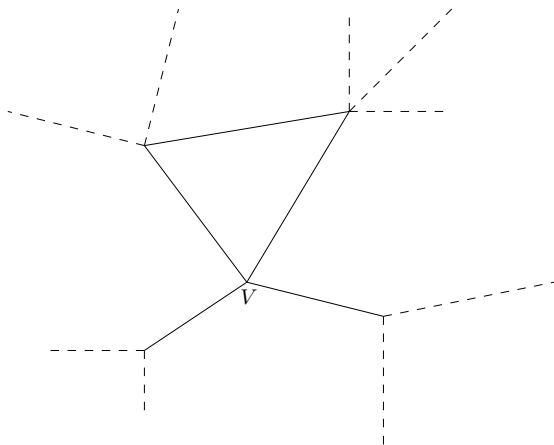
Auf Straße

- leicht besser als bottom-up
- aber langsamer als bottom-up

# Customizable Contraction Hierarchies [DSW14, BCRW13]

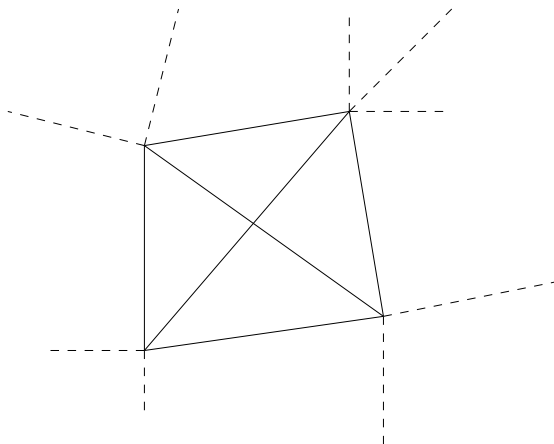
- 3-Phasen Ansatz wie bei CRP
- Preprocessing-, Customization- und Query-Phase
- Das jetzt mit CHs

# Ungewichtete Vertex-Contraction

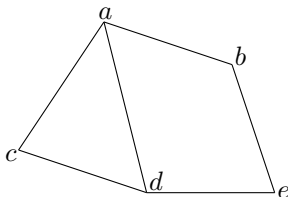


Kontraktion von  $v$ : Ersetze  $v$  mit vollständiger Clique.

# Ungewichtete Vertex-Contraction

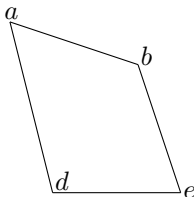


Kontraktion von  $v$ : Ersetze  $v$  mit vollständiger Clique.



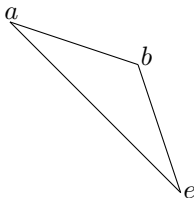
Order  $\pi$ :  $c, d, a, e, b$

Kontrahiere Knoten entlang Ordnung  $\pi$ .



Order  $\pi$ :  $c$ ,  $d$ ,  $a$ ,  $e$ ,  $b$

Kontrahiere Knoten entlang Ordnung  $\pi$ .



Order  $\pi$ :  $c, d, a, e, b$

Kontrahiere Knoten entlang Ordnung  $\pi$ .



Order  $\pi$ :  $c, d, a, e, b$

Kontrahiere Knoten entlang Ordnung  $\pi$ .

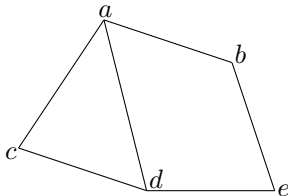
$b$

Order  $\pi$ :  $c, d, a, e, b$

Kontrahiere Knoten entlang Ordnung  $\pi$ .

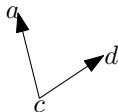
Order  $\pi$ :  $c, d, a, e, b$

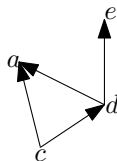
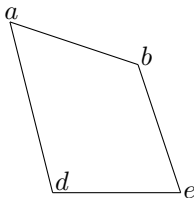
Kontrahiere Knoten entlang Ordnung  $\pi$ .



Order  $\pi$ : *c*, *d*, *a*, *e*, *b*

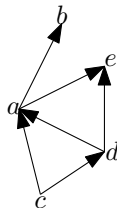
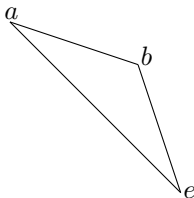
Baue Suchgraph auf





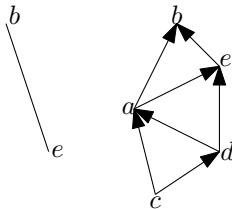
Order  $\pi$ :  $c, d, a, e, b$

Baue Suchgraph auf



Order  $\pi$ :  $c, d, a, e, b$

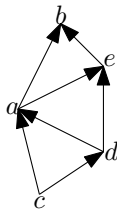
Baue Suchgraph auf



Order  $\pi$ :  $c, d, a, e, b$

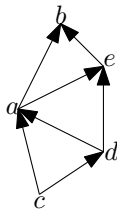
Baue Suchgraph auf

$b$



Order  $\pi$ :  $c, d, a, e, b$

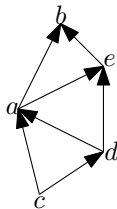
Baue Suchgraph auf



Order  $\pi$ :  $c, d, a, e, b$

Baue Suchgraph auf

Order  $\pi$ :  $c, d, a, e, b$



- Der **Suchraum** von  $v$  ist der Subgraph vom Suchgraph der induziert wird von den Knoten die von  $v$  aus erreicht werden können
- Der noch nicht kontrahierte Graph heißt **Core**
- $\pi^{-1}$  heißt **rank**
- Eingefügte Kanten heißen **Shortcuts**

## Knoten Separator

Ein **Knoten Separator**  $S$  von  $G = (V, E)$  ist eine Knotenmenge, so dass das Löschen von  $S$  den Graph  $G$  in zwei unzusammenhängende Teile  $G_1 = (V_1, E_1)$  und  $G_2 = (V_2, E_2)$  zerlegt.

## Balancierter Knoten Separator

Zusätzlich muss gelten, dass  $|V_1| \leq \frac{2}{3}n$  and  $|V_2| \leq \frac{2}{3}n$ .

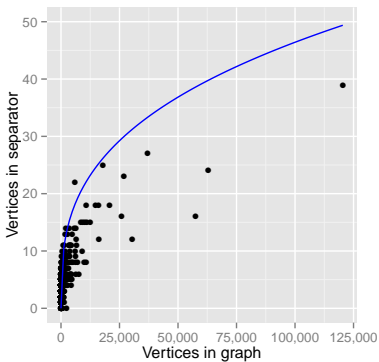
## Rekursive Balancierter Knoten Separator

Ein Graph  $G$  hat **rekursive balancierte Knoten Separatoren** der Größe  $O(|V|^\alpha)$  wenn  $G$  einen balancierten Separator der Größe  $O(|V|^\alpha)$  hat und  $G_1$  und  $G_2$  rekursive balancierte Separatoren der Größen  $O(|V_1|^\alpha)$  und  $O(|V_2|^\alpha)$  haben.

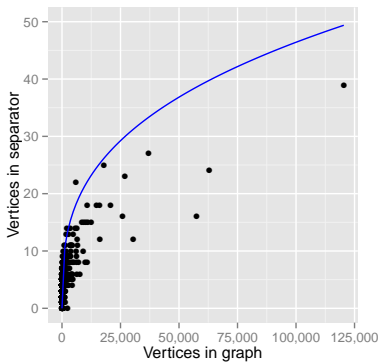
## Beispiel

Alle planare Graphen haben  $O(n^{\frac{1}{2}})$  rekursive balancierte Knoten Separatoren.

**Beweis:** Siehe Vorlesung zu planaren Graphen



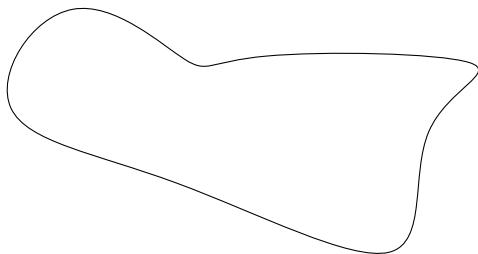
Separatoren für Straßengraph (in der weiteren Umgebung) von  
Karlsruhe Blaue Funktion ist  $y = \sqrt[3]{x}$ .



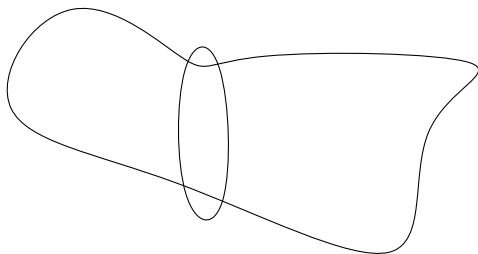
Separatoren für Straßengraph (in der weiteren Umgebung) von Karlsruhe Blaue Funktion ist  $y = \sqrt[3]{x}$ .

**Annahme:** Straßengraphen haben  $O(\sqrt[3]{x})$  rekursive balancierte Separatoren.

# Nested Dissection

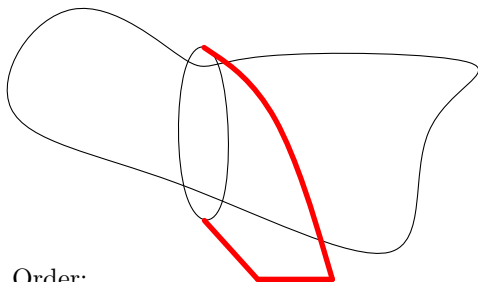


Order:



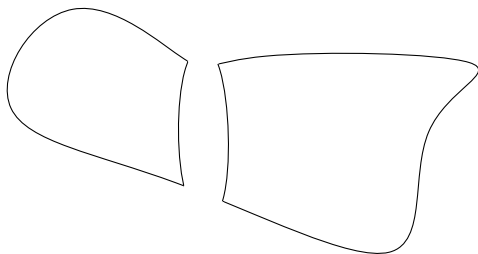
Order:

Finde kleinen Separator



Order:

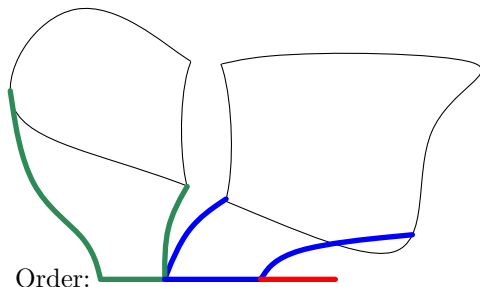
Pack die Knoten hinten in die Ordnung



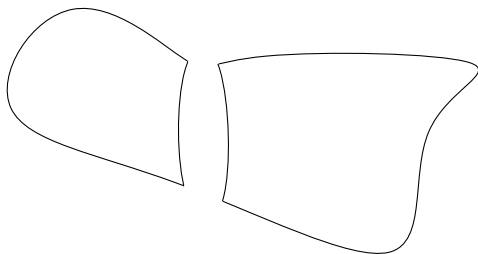
Order:



Lösche Separator



Rekursion auf beiden Teilen



Order: 

Die Ordnung

- Der Suchraum eines Knoten  $v$  enthält auf jeder Ebene höchstens einen Separator, da  $v$  nicht auf beiden Seiten sein kann.
- Wir können die Knotenanzahl im Suchraum wie folgt abschätzen:

$$\begin{aligned} & \sum_{i=0}^{\infty} O\left(\sqrt[3]{\left(\frac{2}{3}\right)^i n}\right) \\ &= O\left(\sqrt[3]{n} \cdot \sum_{i=0}^{\infty} \left(\sqrt[3]{\frac{2}{3}}\right)^i\right) \\ &= O(\sqrt[3]{n}) \end{aligned}$$

- Es gibt höchstens  $O(n^{2/3})$  Kanten im Suchraum

- Der Hauptvorteil von Nested Dissection ist das die Ordnung nicht von den Kantengewichten abhängt
- Customization muss weder die Ordnung noch den Suchgraph ändern
- Aber: viel mehr Kanten im Suchraum verglichen mit Metrikabhängigen Ordnungen

Ein Dreieck  $\{x, y, z\}$  ist

- ein unteres Dreieck von  $(x, y)$  wenn  $z$  einen kleineren Rank hat, als  $x$  und  $y$
- ein oberes Dreieck von  $(x, y)$  wenn  $z$  einen größeren Rank hat, als  $x$  und  $y$
- ein mittleres Dreieck von  $(x, y)$  wenn  $z$  einen Rank zwischen denen von  $x$  und  $y$  hat

- Eine CH-Anfrage ist korrekt wenn für jedes untere Dreieck die untere Dreiecksungleichung gilt, d.h., für alle Kanten  $(x, y)$  im Suchgraph muss gelten, dass für alle unteren Dreiecke  $\{x, y, z\}$

$$w(x, z) + w(z, y) \geq w(x, y)$$

gilt

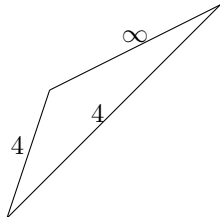
- Initial bekommt jede original Kante ihr original Gewicht, alle Shortcuts kriegen Gewicht  $\infty$
- Ziel der Customization ist es die untere Dreiecksungleichung herzustellen

## Normal Customization



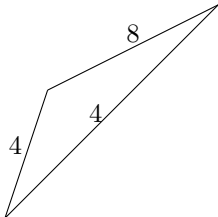
Eine Kante im Suchgraph

## Normal Customization



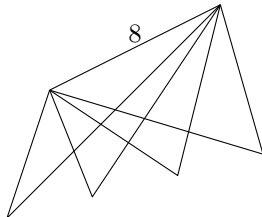
Für jedes untere Dreieck muss die Ungleichung gelten

## Normal Customization



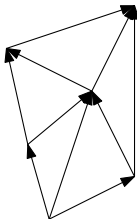
Verringere das Gewicht bis die Ungleichung gilt

## Normal Customization



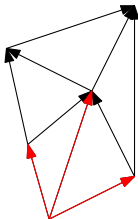
Dies muss für alle unteren Dreiecke gemacht werden

## Normal Customization



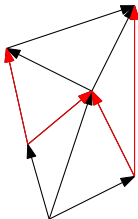
Bleibt die Frage in welcher Reihenfolge wir über die Kanten iterieren

## Normal Customization



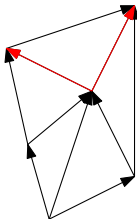
Iteriere über alle Kanten im Suchgraph aufsteigen nach Level

## Normal Customization



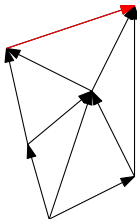
Iteriere über alle Kanten im Suchgraph aufsteigen nach Level

## Normal Customization



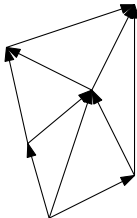
Iteriere über alle Kanten im Suchgraph aufsteigen nach Level

## Normal Customization



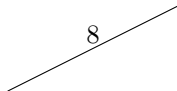
Iteriere über alle Kanten im Suchgraph aufsteigen nach Level

## Normal Customization



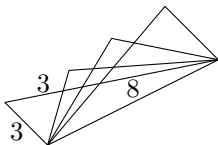
Die untere Dreiecksungleichung wurde hergestellt und damit sind die CH-Anfragen korrekt

## Perfect Customization



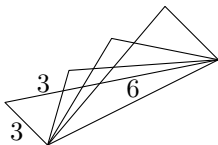
Wir können danach zusätzliche alle mittleren und oberen Dreiecke betrachten. Diesmal gehen wir absteigend nach Level über die Kanten. Das ist eine **perfekte Customization**.

## Perfect Customization



Wir können danach zusätzliche alle mittleren und oberen Dreiecke betrachten. Diesmal gehen wir absteigend nach Level über die Kanten. Das ist eine **perfekte Customization**.

## Perfect Customization



Wir können danach zusätzliche alle mittleren und oberen Dreiecke betrachten. Diesmal gehen wir absteigend nach Level über die Kanten. Das ist eine **perfekte Customization**.

- Mit einer perfekten Customization kann man eine perfekte Zeugensuche machen.
- Dies führt zu langsameren Customizationzeiten aber schnelleren Anfragezeiten.
- **Achtung:** Perfekte Customization geht nur mit metrikunabhängiger Ordnung.
- Mit gewichtsabhängigen Ordnung kriegt man kleinere Suchräume hin.

**Option 1:** Alle Dreiecke einer Kante vorberechnen und speichern.

**Problem:** Viel Speicher.

**Option 2:**

- Speichere die Abwärtsnachbarschaften  $N_d(x)$  jedes Knoten  $x$  als sortiertes Array
- Genau für jeden Knoten  $z \in N_d(x) \cap N_d(y)$  gibt es ein unteres Dreieck  $\{x, y, z\}$  von  $(x, y)$
- $N_d(x) \cap N_d(y)$  kann man durch einen simultanen Scan über  $N_d(x)$  und  $N_d(y)$  berechnen

**Problem:** Langsamer als Option 1.

# Elimination-Tree

Der Elimination-Tree ist wie folgt definiert:

$$\text{parent}(x) = \underset{(x, y) \text{ is in search graph}}{\text{arg min}} (\pi^{-1}(y))$$

Satz: Vorfahren von  $x$  = Knoten im Suchraum von  $x$

# Elimination-Tree

Der Elimination-Tree ist wie folgt definiert:

$$\text{parent}(x) = \underset{(x, y) \text{ is in search graph}}{\text{arg min}} (\pi^{-1}(y))$$

Satz: Vorfahren von  $x$  = Knoten im Suchraum von  $x$

- $V(x)$  = Vorfahren von  $x$
- $S(x)$  = Knoten im Suchraum von  $x$

**Beweis:**

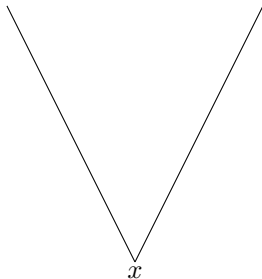
- $V(x) \subseteq S(x)$
- Klar, der Pfad entlang des Baums im Suchraum ist
- Bleibt zu zeigen, dass  $V(x) \supseteq S(x)$
- Beweis per Widerspruch

# Elimination-Tree

Der Elimination-Tree ist wie folgt definiert:

$$\text{parent}(x) = \underset{(x, y) \text{ is in search graph}}{\text{arg min}} (\pi^{-1}(y))$$

Satz: Vorfahren von  $x$  = Knoten im Suchraum von  $x$



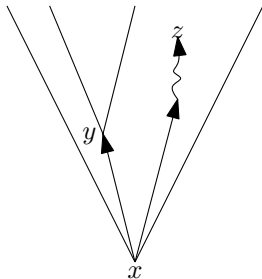
Der Suchraum von  $x$ .

# Elimination-Tree

Der Elimination-Tree ist wie folgt definiert:

$$\text{parent}(x) = \underset{(x, y) \text{ is in search graph}}{\text{arg min}} (\pi^{-1}(y))$$

Satz: Vorfahren von  $x$  = Knoten im Suchraum von  $x$



Sei  $\text{parent}(x) = y$ .

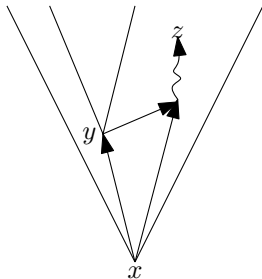
Annahme:  $z$  im Suchraum von  $x$  aber nicht im Suchraum von  $y$  ist.

# Elimination-Tree

Der Elimination-Tree ist wie folgt definiert:

$$\text{parent}(x) = \underset{(x, y) \text{ is in search graph}}{\text{arg min}} (\pi^{-1}(y))$$

Satz: Vorfahren von  $x$  = Knoten im Suchraum von  $x$



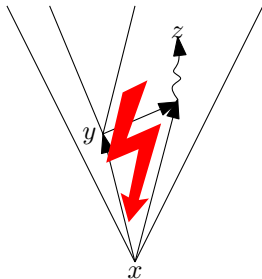
Diese Kante muss es per Konstruktion geben.

# Elimination-Tree

Der Elimination-Tree ist wie folgt definiert:

$$\text{parent}(x) = \underset{(x, y) \text{ is in search graph}}{\text{arg min}} (\pi^{-1}(y))$$

Satz: Vorfahren von  $x$  = Knoten im Suchraum von  $x$



$z$  muss im Suchraum von  $y$  sein. Widerspruch.

Solange man nicht an der Wurzel ist:

- Wenn  $s$  kleineren Rank hat als  $t$ :
  - Relaxiere ausgehende Kanten von  $s$  im Suchgraph
  - $s \leftarrow \text{parent}(s)$
- Else:
  - Relaxiere ausgehende Kanten von  $t$  im Suchgraph
  - $t \leftarrow \text{parent}(t)$

Vorteile:

- Keine Queue
- Funktioniert mit negativen Gewichten

Nachteile:

- Funktioniert nur mit metrikunabhängiger Ordnung

## Algo:

- suche hoch-runter Pfad
- für jeden Shortcut  $x \rightarrow y$  im Pfad zähle alle unteren Dreiecke  $\{x, y, z\}$  auf
- falls  $w(x, y) = w(x, z) + w(z, y)$  dann ersetze  $x \rightarrow y$  durch  $x \rightarrow z \rightarrow y$
- wiederhole bis keine Shortcuts mehr im Pfad sind

- Anders als bei der CH gibt es nur einen Suchgraph bei der CCH
- Die CCH hat zwei Gesichte: ein Aufwärts- und ein Abwärtsgewicht
- Einbahnstraßen haben Gewicht  $\infty$  in eine Richtung

## Durchschnittliche Laufzeit von Reisezeitanfragen

■ CCH-Dijkstra :	0.81 ms
■ CCH-Stall :	0.85 ms
■ CCH-Tree :	0.41 ms
■ CH-Dijkstra :	0.28 ms
■ CH-Stall :	0.11 ms

## Durchschnittliche Laufzeit von Geodistanzanfragen

■ CCH-Dijkstra :	0.87 ms
■ CCH-Stall :	1.00 ms
■ CCH-Tree :	0.42 ms
■ CH-Dijkstra :	2.66 ms
■ CH-Stall :	0.54 ms

as always: instance is DIMACS Europe  
sequential unless mentioned

## Customization

- Laufzeit: 0.4s
- Parallel mit 16 cores und SIMD/SSE
- Details in [DSW14]

as always: instance is DIMACS Europe  
sequential unless mentioned

## Nested Dissection Ordnung

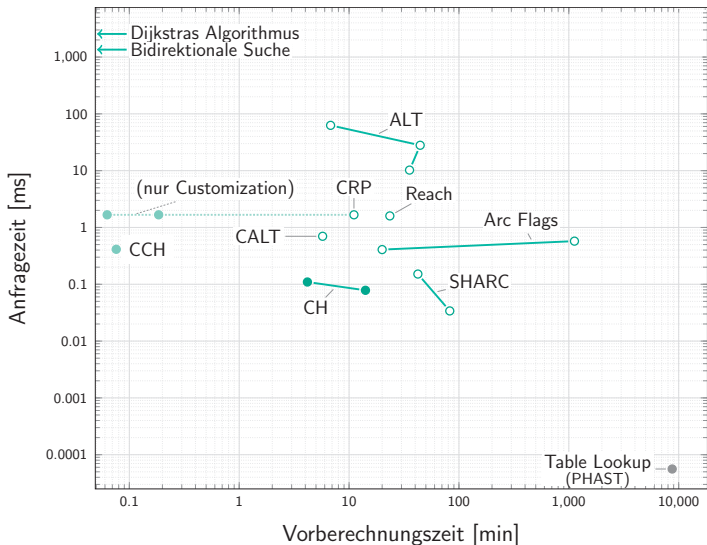
- Hängt vom verwendeten Partitionierer ab
- Metis ist schnell, KaHip hat gute Qualität
- KaHip: 2.8 days (nicht auf Schnelligkeit optimiert)
- Metis: 2.2 min
- Details in [DSW14]

## Metricabhängige Ordnungen

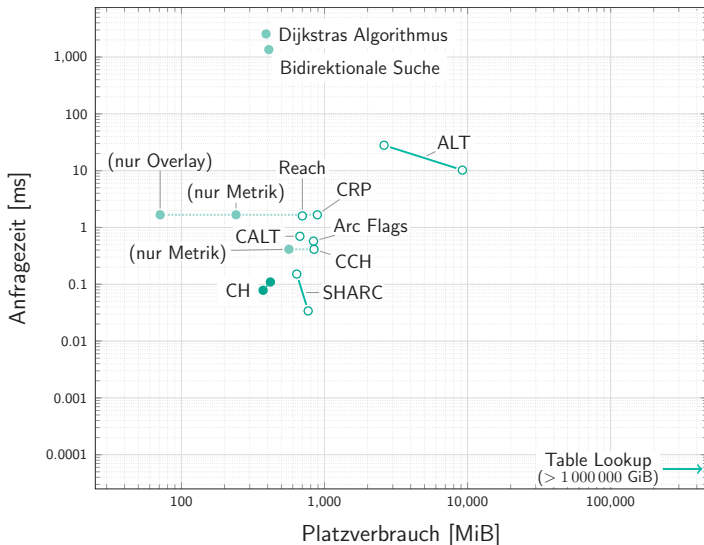
- Bottom-Up: 8-100 min (depending on importance heuristic)  
Parallel mit Reisezeit geht auch 2min
- Top-Down: 29.75 h (mit zusätzlichen Tricks aus [ADGW12])
- Sampling Path Greedy: 139.4 min (mit zusätzlichen Tricks aus [DGPW14])

as always: instance is DIMACS Europe  
sequential unless mentioned

# Overview



# Overview



Zu einem scheinbar ganz anderen Thema:  
Lösen linear Gleichungssysteme

Ziel: Obere Dreiecksmatrix per Gaußelimination

$$\begin{bmatrix} 1 & -1 & 1 & 1 & 1 \\ 1 & 1 & 0 & 0 & -2 \\ 1 & 0 & -1 & -1 & 0 \\ -1 & 0 & -1 & -2 & 0 \\ 1 & -1 & 0 & 0 & 1 \end{bmatrix}$$

4 Nullen im oberen Dreieck

Ziel: Obere Dreiecksmatrix per Gaußelimination

$$\begin{bmatrix} 1 & -1 & 1 & 1 & 1 \\ 0 & 2 & -1 & -1 & -3 \\ 0 & 1 & -2 & -2 & -1 \\ 0 & -1 & 0 & -1 & 1 \\ 0 & 0 & -1 & -1 & 0 \end{bmatrix}$$

Ziel: Obere Dreiecksmatrix per Gaußelimination

$$\begin{bmatrix} 1 & -1 & 1 & 1 & 1 \\ 0 & 2 & -1 & -1 & -3 \\ 0 & 0 & -\frac{3}{2} & -\frac{3}{2} & \frac{1}{2} \\ 0 & 0 & -\frac{1}{2} & -\frac{3}{2} & -\frac{1}{2} \\ 0 & 0 & -1 & -1 & 0 \end{bmatrix}$$

Ziel: Obere Dreiecksmatrix per Gaußelimination

$$\begin{bmatrix} 1 & -1 & 1 & 1 & 1 \\ 0 & 2 & -1 & -1 & -3 \\ 0 & 0 & -\frac{3}{2} & -\frac{3}{2} & \frac{1}{2} \\ 0 & 0 & 0 & -1 & -\frac{3}{2} \\ 0 & 0 & 0 & 0 & -\frac{1}{3} \end{bmatrix}$$

Keine Nullen übrig  $\rightarrow :($

Idee: Spalten und Zeilen umsortieren

$$\begin{bmatrix} 1 & -1 & 1 & 1 & 1 \\ 1 & 1 & 0 & 0 & -2 \\ 1 & 0 & -1 & -1 & 0 \\ -1 & 0 & -1 & -2 & 0 \\ 1 & -1 & 0 & 0 & 1 \end{bmatrix}$$

Idee: Spalten und Zeilen umsortieren

$$\begin{bmatrix} 1 & -1 & 0 & 0 & 1 \\ -2 & 1 & 0 & 0 & 1 \\ 0 & 0 & -1 & -1 & 1 \\ 0 & 0 & -1 & -2 & -1 \\ 1 & -1 & 1 & 1 & 1 \end{bmatrix}$$

Idee: Spalten und Zeilen umsortieren

$$\begin{bmatrix} 1 & -1 & 0 & 0 & 1 \\ 0 & -1 & 0 & 0 & 3 \\ 0 & 0 & -1 & -1 & 1 \\ 0 & 0 & -1 & -2 & -1 \\ 0 & 0 & 1 & 1 & 0 \end{bmatrix}$$

Idee: Spalten und Zeilen umsortieren

$$\begin{bmatrix} 1 & -1 & 0 & 0 & 1 \\ 0 & -1 & 0 & 0 & 3 \\ 0 & 0 & -1 & -1 & 1 \\ 0 & 0 & 0 & -1 & -2 \\ 0 & 0 & 0 & 0 & 1 \end{bmatrix}$$

Idee: Spalten und Zeilen umsortieren

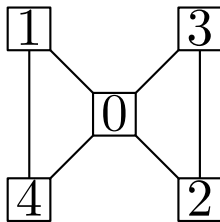
$$\begin{bmatrix} 1 & -1 & 0 & 0 & 1 \\ 0 & -1 & 0 & 0 & 3 \\ 0 & 0 & -1 & -1 & 1 \\ 0 & 0 & 0 & -1 & -2 \\ 0 & 0 & 0 & 0 & 1 \end{bmatrix}$$

Alle 4 Nullen erhalten  $\rightarrow$  :)

Warum funktioniert das?

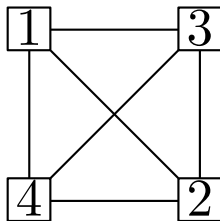
Jeder Eintrag der nicht Null ist entspricht einer Kante.

$$\begin{bmatrix} 1 & -1 & 1 & 1 & 1 \\ 1 & 1 & 0 & 0 & -2 \\ 1 & 0 & -1 & -1 & 0 \\ -1 & 0 & -1 & -2 & 0 \\ 1 & -1 & 0 & 0 & 1 \end{bmatrix}$$



Jeder Eintrag der nicht Null ist entspricht einer Kante.

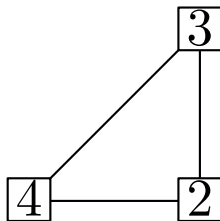
$$\begin{bmatrix} 1 & -1 & 1 & 1 & 1 \\ 0 & 2 & -1 & -1 & -3 \\ 0 & 1 & -2 & -2 & -1 \\ 0 & -1 & 0 & -1 & 1 \\ 0 & 0 & -1 & -1 & 0 \end{bmatrix}$$



Variablenelimination  $\leftrightarrow$  Knotenkontraktion  
Jeder Shortcut zerstört eine Null

Jeder Eintrag der nicht Null ist entspricht einer Kante.

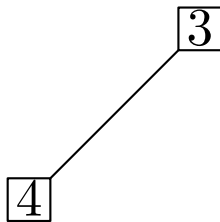
$$\begin{bmatrix} 1 & -1 & 1 & 1 & 1 \\ 0 & 2 & -1 & -1 & -3 \\ 0 & 0 & -\frac{3}{2} & -\frac{3}{2} & \frac{1}{2} \\ 0 & 0 & -\frac{1}{2} & -\frac{3}{2} & -\frac{1}{2} \\ 0 & 0 & -1 & -1 & 0 \end{bmatrix}$$



Variablenelimination  $\leftrightarrow$  Knotenkontraktion  
Jeder Shortcut zerstört eine Null

Jeder Eintrag der nicht Null ist entspricht einer Kante.

$$\begin{bmatrix} 1 & -1 & 1 & 1 & 1 \\ 0 & 2 & -1 & -1 & -3 \\ 0 & 0 & -\frac{3}{2} & -\frac{3}{2} & \frac{1}{2} \\ 0 & 0 & 0 & -1 & -\frac{3}{2} \\ 0 & 0 & 0 & 0 & -\frac{1}{3} \end{bmatrix}$$



Variablenelimination  $\leftrightarrow$  Knotenkontraktion  
Jeder Shortcut zerstört eine Null

Jeder Eintrag der nicht Null ist entspricht einer Kante.

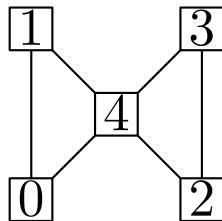
$$\begin{bmatrix} 1 & -1 & 1 & 1 & 1 \\ 0 & 2 & -1 & -1 & -3 \\ 0 & 0 & -\frac{3}{2} & -\frac{3}{2} & \frac{1}{2} \\ 0 & 0 & 0 & -1 & -\frac{3}{2} \\ 0 & 0 & 0 & 0 & -\frac{1}{3} \end{bmatrix}$$

4

Variablenelimination  $\leftrightarrow$  Knotenkontraktion  
Jeder Shortcut zerstört eine Null

Jeder Eintrag der nicht Null ist entspricht einer Kante.

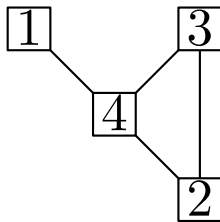
$$\begin{bmatrix} 1 & -1 & 0 & 0 & 1 \\ -2 & 1 & 0 & 0 & 1 \\ 0 & 0 & -1 & -1 & 1 \\ 0 & 0 & -1 & -2 & -1 \\ 1 & -1 & 1 & 1 & 1 \end{bmatrix}$$



Variablenelimination  $\leftrightarrow$  Knotenkontraktion  
Jeder Shortcut zerstört eine Null

Jeder Eintrag der nicht Null ist entspricht einer Kante.

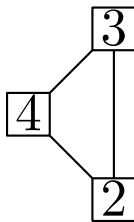
$$\begin{bmatrix} 1 & -1 & 0 & 0 & 1 \\ 0 & -1 & 0 & 0 & 3 \\ 0 & 0 & -1 & -1 & 1 \\ 0 & 0 & -1 & -2 & -1 \\ 0 & 0 & 1 & 1 & 0 \end{bmatrix}$$



Variablenelimination  $\leftrightarrow$  Knotenkontraktion  
Jeder Shortcut zerstört eine Null

Jeder Eintrag der nicht Null ist entspricht einer Kante.

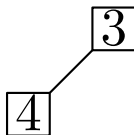
$$\begin{bmatrix} 1 & -1 & 0 & 0 & 1 \\ 0 & -1 & 0 & 0 & 3 \\ 0 & 0 & -1 & -1 & 1 \\ 0 & 0 & -1 & -2 & -1 \\ 0 & 0 & 1 & 1 & 0 \end{bmatrix}$$



Variablenelimination  $\leftrightarrow$  Knotenkontraktion  
Jeder Shortcut zerstört eine Null

Jeder Eintrag der nicht Null ist entspricht einer Kante.

$$\begin{bmatrix} 1 & -1 & 0 & 0 & 1 \\ 0 & -1 & 0 & 0 & 3 \\ 0 & 0 & -1 & -1 & 1 \\ 0 & 0 & 0 & -1 & -2 \\ 0 & 0 & 0 & 0 & 1 \end{bmatrix}$$



Variablenelimination  $\leftrightarrow$  Knotenkontraktion  
Jeder Shortcut zerstört eine Null

Jeder Eintrag der nicht Null ist entspricht einer Kante.

$$\begin{bmatrix} 1 & -1 & 0 & 0 & 1 \\ 0 & -1 & 0 & 0 & 3 \\ 0 & 0 & -1 & -1 & 1 \\ 0 & 0 & 0 & -1 & -2 \\ 0 & 0 & 0 & 0 & 1 \end{bmatrix}$$

4

Variablenelimination  $\leftrightarrow$  Knotenkontraktion  
Jeder Shortcut zerstört eine Null



Ittai Abraham, Daniel Delling, Andrew V. Goldberg, and Renato F. Werneck.  
Hierarchical hub labelings for shortest paths.

In *Proceedings of the 20th Annual European Symposium on Algorithms (ESA'12)*, volume 7501 of *Lecture Notes in Computer Science*, pages 24–35. Springer, 2012.



Reinhard Bauer, Tobias Columbus, Ignaz Rutter, and Dorothea Wagner.  
Search-space size in contraction hierarchies.

In *Proceedings of the 40th International Colloquium on Automata, Languages, and Programming (ICALP'13)*, volume 7965 of *Lecture Notes in Computer Science*, pages 93–104. Springer, 2013.



Daniel Delling, Andrew V. Goldberg, Thomas Pajor, and Renato F. Werneck.  
Robust distance queries on massive networks.

In *Proceedings of the 22nd Annual European Symposium on Algorithms (ESA'14)*, volume 8737 of *Lecture Notes in Computer Science*, pages 321–333. Springer, September 2014.



Julian Dibbelt, Ben Strasser, and Dorothea Wagner.

Customizable contraction hierarchies.

In *Proceedings of the 13th International Symposium on Experimental Algorithms (SEA'14)*, volume 8504 of *Lecture Notes in Computer Science*, pages 271–282. Springer, 2014.



Robert Geisberger, Peter Sanders, Dominik Schultes, and Christian Vetter.

Exact routing in large road networks using contraction hierarchies.

*Transportation Science*, 46(3):388–404, August 2012.